

Review : Degenerate perturbation theory

$$\hat{H} = \hat{H}_0 + \hat{V}$$

$$\text{with } \hat{H}_0 |\Psi_{nj}^{(0)}\rangle = E_n^{(0)} |\Psi_{nj}^{(0)}\rangle$$

$$j=1, \dots, D_n$$

\downarrow
 D_n -fold degenerate

use basis states

$$|n_j\rangle = \sum_{j'=1}^{D_n} C_{jj'}^{nj} |\Psi_{nj}^{(0)}\rangle$$

$$\hat{H}_0 |n_j\rangle = E_n^{(0)} |n_j\rangle$$

so that \hat{V} is diagonal in each $D_n \times D_n$ block/subspace

in general $C_{jj'}^{nj}$ is unitary matrix $U_{jj'}$

⇒ 1st order perturbation theory

$$E_{nj}^{(1)} = \langle n_j | \hat{V} | n_j \rangle = v_{nj}$$

If $E_n^{(0)} + E_{nj}^{(1)}$ has no degeneracy (all v_{nj} different)

⇒ 2nd order PT

$$E_{nj}^{(2)} = \sum_{\substack{n'j' \\ n' \neq n}} \frac{|\langle n_j | \hat{V} | n_j' \rangle|^2}{E_n^{(0)} - E_{n'}^{(0)}}$$

- Vorlesung heute:
- Zeeman Effekt schwaches, homogenes \vec{B} ✓
 - Stark Effekt $\leftrightarrow \vec{E}$ ✓
 - Variationsverfahren
-

Zeeman Effekt

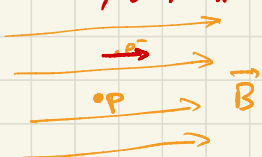
$$\hat{H} = \hat{H}_0 + \hat{V} + \mathcal{O}(\vec{A}^2 \sim \vec{B}^2)$$

H-Atom $\hat{H}_0 |nlm\rangle = E_n^{(0)} |nlm\rangle \quad E_n^{(0)} = -\frac{Ry Z^2}{n^2}$

mit Störung \hat{V} für schwaches, homogenes \vec{B} Feld

$$\vec{\mu}_B = \mu_B \frac{\vec{L}}{\hbar}$$

$$\hat{V} = -\mu_B \vec{B} \cdot \frac{\vec{L}}{\hbar}$$



mit Bohr Magneton $\mu_B = \frac{e\hbar}{2m_e c}$ (cgs Einheiten)

$$\vec{B} = \begin{pmatrix} 0 \\ 0 \\ B \end{pmatrix}$$

→ Entartete Störungstheorie 1. Ordnung

Matrixdarstellung von \hat{V} in $\underbrace{|nlm\rangle}_{|\psi_{nj}^{(0)}\rangle}$ Zuständen $\dots \rightarrow |nlj\rangle$

$$\langle nl'm' | \hat{V} | nlm \rangle = \langle nl'm' | -\mu_B B \frac{\vec{L}_z}{\hbar} | nlm \rangle$$

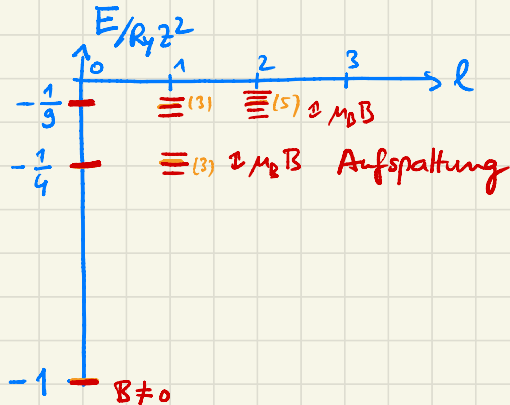
im $D_n \times D_n$ Unterraum: $n=n'$

$$= -\mu_B B m \underbrace{\langle nl'm' | nlm \rangle}_{\delta_{ll'} \delta_{mm'}}$$

Störung ist schon diagonal! $|nlm\rangle = |nlm\rangle$

$$\Rightarrow \boxed{E_{nlm}^{(1)}} = \langle nlm | \hat{V} | nlm \rangle = -\mu_B B m$$

\Rightarrow Energiespektrum



Zeeman Effekt: Aufspaltung von $E_n^{(0)}$ zu $|nlm\rangle$
in $(2l+1)$ Energieniveaus für jedes l
→ teilweise Aufhebung der Entartung
→ experimentell mit Rabi Technik bestätigt.

Für höhere Ordnung Störungstheorie, z.B. $|1P_{1/2}^{(1)}\rangle$, $E_{n,l}^{(2)}$, ...

benötigten wir $\langle n' l' m' | \hat{V} | n l m \rangle$ mit $n \neq n'$
 $= -\mu_B B m' \delta_{nn'} \delta_{ll'} \delta_{mm'} = 0$ für $n \neq n'$

→ 1. Ordng. Störungstheorie ist exakt Lösung.
da \hat{V} diagonal in ungestörten $|nlm\rangle$

→ $|nlm\rangle$ sind exakte Eigenzustände, $E_{n,m} = -\frac{Ry Z^2}{n^2} - \mu_B B m$

Stark Effekt

H-Atom in homogenem elektrischen Feld, $\vec{E} = \begin{pmatrix} 0 \\ 0 \\ E \end{pmatrix}$

$$\Rightarrow \hat{V} = -e E \hat{z} \quad (\text{pot. Energie der Ladung } -e \text{ im el. Feld})$$

Entartete Störgrtheorie 1. Ordnung

→ Diagonalisiere \hat{V} im $\langle n'l'm' | \hat{V} | nl'm \rangle$ Unterraum zum gleichen n

$$\langle nl'm | \underbrace{-eE r \cos\theta}_{\text{unabh. von } \varphi} | nl'm' \rangle \sim \delta_{mm'}$$

unabh. von φ

Spezialfall $l=l'$

$$\int_{-1}^1 dx \times f(x) \quad \text{sym.}$$

$$\langle nl'm | -eEr \cos\theta | nl'm \rangle \sim \int r^2 dr |R_{nl}(r)|^2 r \int_{-1}^1 d\varphi \cos\theta \underbrace{|Y_l^m(\theta, \varphi)|^2}_{\text{gerade } \cos\theta} = 0$$

$$\Rightarrow \langle nl'm' | -eEr \cos\theta | nl'm \rangle \neq 0 \quad \text{für } l \neq l'$$

Grundzustand $E_{n=1}^{(0)}$: $l=m=0$, kein $l+l'$ möglich

$$E_{n=1, lm}^{(1)} = 0$$

1. angeregter Zustand $E_{n=2}^{(0)}$: 4-fache Entartg

$$|nlm\rangle = |2\ 00\rangle = |2S\rangle$$

$$|2\ 1-1\rangle = |2P_{-1}\rangle$$

$$|2\ 10\rangle = |2P_0\rangle$$

$$|2\ 1+1\rangle = |2P_{+1}\rangle$$

\checkmark nicht nur $|2S\rangle$ und $|2P_0\rangle$ Zustand

Rechnung zeigt $\langle 2S | -eE_r \cos\theta | 2P_0 \rangle = -3eE_r r_0$

Bohr radius

$\rightarrow \checkmark$ im 4×4 Unterraum

$$\begin{matrix} & 2S & 2P_0 & 2P_1 & 2P_{-1} \\ 2S & 0 & -3eE_r & 0 & 0 \\ 2P_0 & -3eE_r & 0 & 0 & 0 \\ 2P_1 & 0 & 0 & 0 & 0 \\ 2P_{-1} & 0 & 0 & 0 & 0 \end{matrix}$$

$$|\Psi_{nj}^{(n)}\rangle$$

$\rightarrow |nj\rangle$ aus $|nlm\rangle$ die \checkmark im 4×4 Unterraum diagonalisiert

\rightarrow Eigenvektoren und Eigenwerte

$$|2P_1\rangle \quad 0$$

$$|2P_{-1}\rangle \quad 0$$

$$(1) \frac{1}{\sqrt{2}} (|2S\rangle + |2P_0\rangle) \quad -3eE_r r_0$$

$$(1, 1, 0, 0)$$

$$(2) \frac{1}{\sqrt{2}} (|2S\rangle - |2P_0\rangle) \quad +3eE_r r_0$$

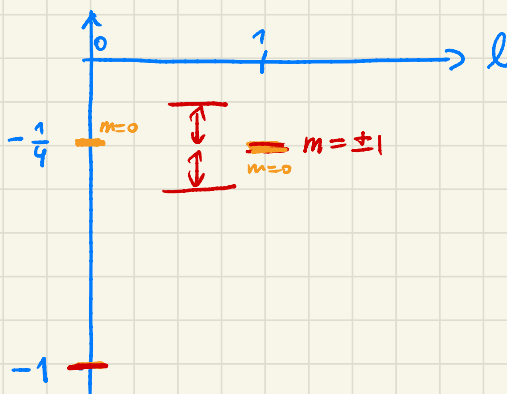
$$(1, -1, 0, 0)$$

$$\Rightarrow E_{n=2,j}^{(1)} = \overline{\overline{\overline{\overline{0}}}} \stackrel{(2)}{\downarrow} \stackrel{(1)}{\downarrow} 3eE_r r_0$$

$$E/Ry z^2$$

$|\vec{E}| \neq 0$ homogen

$$E = 0$$

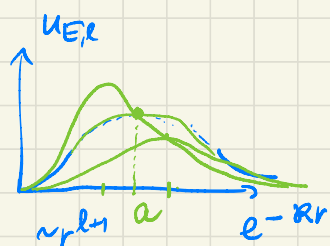


(2) —
[2P1/2] —
(1) —
 $\downarrow 3eE_r0$

(2) [2P3/2] — (4)

Ritzelius Variationsverfahren

Erinnerung H-Atom



Weiteres Näherungsverfahren, besonders benutzt für Grundzustand

$$E[|\psi\rangle] = \frac{\langle \psi | \hat{H} | \psi \rangle}{\langle \psi | \psi \rangle} \geq E_0, \text{exact}$$

für Grundzustand hat $E[|\psi\rangle]$ ein Minimum

